

УДК 539.2:546.261

ЭЛЕКТРОННАЯ СТРУКТУРА И ХИМИЧЕСКАЯ СВЯЗЬ В КАРБИДАХ, КРИСТАЛЛИЗУЮЩИХСЯ В СИСТЕМЕ Fe—W—C

© 2008 А.В. Илясов*, А.А. Рыжкин, В.В. Илясов

Донской государственный технический университет, Ростов-на-Дону

Статья поступила 17 мая 2007 г.

Методом локального когерентного потенциала с использованием кластерной версии МТ-приближения в рамках теории многократного рассеяния исследована электронная энергетическая структура карбидных систем МС, M₆C, M₁₂C и мартенсита железа в отсутствие спиновой поляризации. Рассчитана локальная парциальная плотность электронных состояний атомов в кристаллах, проведено сравнение их электронной структуры, обсуждаются особенности химической связи кристаллов.

Ключевые слова: электронная энергетическая структура, особенности химической связи.

ВВЕДЕНИЕ

Карбид вольфрама является одним из наиболее интересных представителей карбидов переходных металлов высших групп, которые могут иметь как кубическую (типа B1), так и гексагональную (симметрия D_{3h}¹) кристаллографические модификации, обладая высокими температурой плавления, твердостью и прочностью, а также склонностью к образованию двойных карбидов с переходными 3d-металлами и других соединений [1]. Уникальные физические свойства карбида вольфрама определяют значительный интерес к установлению стадийности в структурно-морфологической трансформации кристаллов WC в различных системах, реализуемых при создании новых композиционных материалов на основе карбидных зерен WC.

Электронная структура бинарных систем Fe₃C (цементит) [2], Fe₈C (аустенит) [3], WC [4, 5] и W₂C [6] к настоящему времени широко изучены. В то же время в опубликованной литературе нет полного представления о структурно-морфологических характеристиках и свойствах продуктов твердофазных химических реакций в системе W—Fe—C. В работе [7] установлено, что при лазерно-ультразвуковом расплавлении поверхности быстрорежущей стали Р18 и быстрой кристаллизации расплава Fe—W—C наблюдается образование карбидных фаз типа M₆C, WC и интерметаллидной фазы Fe₂W. Также известно, что при спекании твердых растворов системы WC—Fe наблюдается снижение механических свойств твердого сплава вследствие твердофазной растворимости WC в железе, а также вследствие склонности к образованию хрупких двойных карбидов типа Fe_xW_{1-x}C_y [8]. Причину нестабильности гексагональных монокристаллов WC традиционно связывают с высокой растворимостью вольфрама в α-железе [9, 10].

Авторы работы [11] приводят обобщенные сведения о фазовых равновесиях в системах W—C и W—Co—C. В частности, в тройной системе отмечается образование нескольких соединений: η-карбидов Co₂W₄C и Co₄W₂C с кубической структурой (пр. гр. Fd-3m) типа M₆C и гексагональных карбидов CoW₃C со структурой типа Co₃W₉C₄ и Co₆W₂₀C₇ (пр. гр. P6₃/mmc). Отмечается, что в структуре Co₃W₉C₄ имеется два типа междуузлий металлической подрешетки, в которой размещаются атомы углерода — в элементарной ячейке два атома углерода из

* E-mail: ailysov@grundfos.com

восьми расположены в центрах тригональных призм, образованных шестью атомами вольфрама, а еще 6 атомов углерода находятся в центрах октаэдров из пяти атомов вольфрама и одного атома кобальта [11]. В данных карбидах наблюдается заметный дефицит по углероду, поэтому их следует записывать с учетом нестехиометрии, а карбиды $\text{Co}_2\text{W}_4\text{C}_y$ и $\text{Co}_4\text{W}_2\text{C}_y$ часто объединяют в одну фазу $\text{Co}_3\text{W}_3\text{C}_y$, понимая под ней псевдобинарный твердый раствор между $\text{Co}_2\text{W}_4\text{C}_y$ и $\text{Co}_4\text{W}_2\text{C}_y$. Тогда можно допустить, что при значительном понижении содержания углерода этой фазе переменного состава на тройной диаграмме соответствует карбид $\sim\text{Co}_6\text{W}_6\text{C}$. Анализ разреза тройной системы W—Co—C по сечению WC—Co показывает, что жидкую фазу в системе появляется при температуре 1560—1593 К [11]. Твердый раствор WC в кобальте образуется в результате диффузационного растворения в температурном интервале 1420—1570 К. Избыточная часть кобальта переходит в жидкую фазу, обеспечивая смачивание карбидных зерен.

Электронная структура сложных карбидов, родственных системе Fe—W—C, приводится в работах [12, 13]. Авторами работы [12] с использованием теории функционала плотности (DFT) и приближения обобщенного градиента (GGA) изучены структурные и электронные свойства растворов замещения (WC)-12% X (X = C, Cr, Co, Zr), в которых легирующие элементы X замещали последовательно позиции атомов в подрешетке W и C. Расчетная суперъячейка 2×2 представляла собой ГЦК решетку (типа NaCl), что обычно имеет место при значительной (до 20 %) нестехиометрии по углероду или ее стабилизации легирующим элементом [13]. В работе [11] получены данные о структурных параметрах, объемном модуле и энергии формирования твердого раствора, которые в случае WC сопоставляются с экспериментальными данными. Приводятся также плотности заполненных и свободных состояний электронов и распределение парциального заряда (s -, p - и d -симметрий) в изученных твердых растворах. В недавней работе [12] проведено исследование взаимосвязи электронной структуры и свойств карбидных материалов на основе WC, где в качестве связующей используются γ -фазы TiC и Mo_2C . Утверждается [12], что рассчитанная электронная структура предсказывает и объясняет все известные явления в этих системах. Расчеты электронной структуры выполнены для твердых растворов замещения $\text{W}_{0,75}\text{Mo}_{0,25}\text{C}$ и $\text{W}_{0,75}\text{Ti}_{0,25}\text{C}$ для кубической (типа NaCl) и WC-структур с использованием пакета VASP. Показано, что электронная структура твердого раствора $\text{W}_{0,75}\text{Me}_{0,25}\text{C}$ изменяется в случае замещения Mo незначительно, что объясняется изовалентностью атомов W и Mo, а при замещении титаном происходит дестабилизация WC-структуры, что связывается с увеличением энергии образования и изменением плотности состояний (ПС) на уровне Ферми [12].

Кристаллическая структура композита на основе системы Fe—W—C, осаждаемого в потоке плазмы, к настоящему времени мало изучена. Эволюция структуры таких материалов при различных видах теплового воздействия является важной проблемой как с точки зрения физики неупорядоченных систем, так и для получения практически важных композиций. С использованием рентгеновского фазового анализа установлено присутствие в рассматриваемом композите гексагонального WC, двойного карбида FeW_3C , сверхструктур $\eta_1\text{-Fe}_3\text{W}_3\text{C}$ и $\eta_2\text{-Fe}_6\text{W}_6\text{C}$ (тип $E9_3$) и мартенсита железа [14]. Данные фазы присутствуют на изотермическом разрезе тройной системы Fe—W—C при 1250 °C [15]. Однако о структурных и электронных свойствах карбидов W_3MC , $\text{W}_6\text{M}_6\text{C}$ и M_2C_{22} (M = Fe) известно мало.

Ограниченностю данных об особенностях химической связи и электронной энергетической структуры карбидов M_4C , M_6C , M_{12}C кристаллизующихся в металлических сплавах, образуемых импульсными потоками энергии, в опубликованной литературе недостаточно для понимания закономерностей формирования свойств данных систем. Поэтому в настоящей работе в рамках одного приближения изучены особенности электронной структуры и химической связи в карбидных фазах W_3FeC , $\eta_1\text{-W}_3\text{Fe}_3\text{C}$, $\eta_2\text{-W}_6\text{Fe}_6\text{C}$ и мартенсите железа (Fe_2C_{22}) с использованием кластерной версии метода локального когерентного потенциала, широко используемого нами ранее для исследования особенностей энергетического спектра электронов в неупорядоченных сплавах [16, 17].

МОДЕЛИ И МЕТОД РАСЧЕТА

Карбид вольфрама WC с гексагональной структурой (пр. гр. $D_{3h}^1 - P\bar{6}m2$) образует кристаллическую структуру, в которой атомы-компоненты W и C находятся в тригонально-призматическом окружении. В частности, атомы вольфрама имеют координационный многоуграник (КМ) $\{WC_6W_8\}$, а атомы углерода имеют КМ $\{CW_6C_8\}$. В элементарной ячейке WC атомы вольфрама и углерода занимают позиции a : 0 0 0 и d : 1/3 2/3 1/3 соответственно с параметрами ячейки $a = 2,9065$, $c = 2,8366 \text{ \AA}$ [18].

Двойной карбид FeW_3C обладает гексагональной решеткой (пр. гр. $P63/mmc$) с 15 атомами на элементарную ячейку. Его кристаллическую решетку можно представить как ГЦК решетку, содержащую атом железа, который окружает 6 атомов W (в центре граней) и 8 атомов C (в узлах решетки). В частности, атомы железа имеют КМ $\{\text{FeW}_6\text{C}_8\}$, атомы вольфрама — КМ $\{\text{WFe}_2\text{C}_4\text{W}_8\}$, а атомы углерода — КМ $\{CW_{12}\text{Fe}_8\}$. Параметры решетки FeW_3C составляют $a = 7,81$ и $c = 7,81 \text{ \AA}$ [18].

Соединение $\text{Fe}_3\text{W}_3\text{C}$ с кубической структурой (пр. гр. $B32-Fd\bar{3}m$) образует твердый раствор с дальним порядком, традиционно классифицируемой как сверхструктура. Элементарная ячейка содержит 17 атомов, в которой 8 атомов C образуют куб ($a = 4,3327 \text{ \AA}$), а в центре граней 6 атомов W, образующие октаэдрическую пору, 3 атома Fe занимают 3 тетраэдрические поры, образуемые атомами углерода и вольфрама. В сверхструктуре $\text{Fe}_3\text{W}_3\text{C}$ атомы вольфрама имеют КМ $\{\text{WFe}_3\text{C}_4\text{W}_8\}$, атомы углерода — КМ $\{\text{CFe}_3\text{W}_{12}\}$, а атомы железа — КМ $\{\text{FeCW}_3\text{Fe}_8\}$.

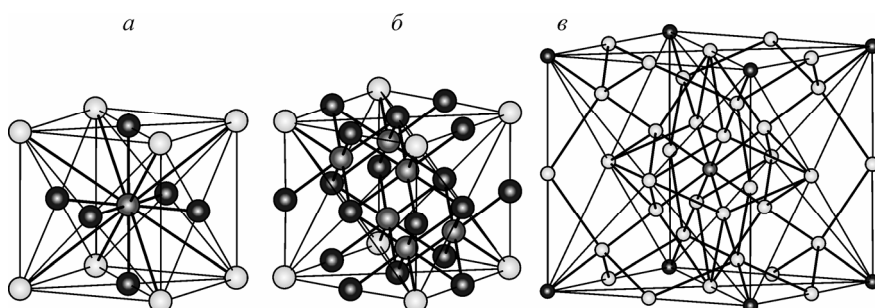
Соединение $\text{Fe}_6\text{W}_6\text{C}$ с кубической структурой (пр. гр. $B32-Fd\bar{3}m$) образует твердый раствор с дальним порядком, классифицируемой как сверхструктура. Элементарная ячейка содержит 32 атома; в ней 8 атомов C образуют куб ($a = 10,958 \text{ \AA}$), а в центре граней и ребер — 18 атомов W, 6 атомов Fe занимают тетраэдрические поры, образуемые атомами углерода и вольфрама. В сверхструктуре $\text{Fe}_6\text{W}_6\text{C}$ атомы железа образуют КМ $\{\text{FeCW}_6\}$, атомы вольфрама — КМ $\{\text{WFe}_6\text{W}_4\text{C}_4\}$, а атомы углерода — КМ $\{\text{CFe}_6\text{W}_6\text{W}_{12}\}$.

Мартенсит железа Fe_2C_{22} имеет кубическую структуру (пр. гр. $I\bar{m}3m$) и образует твердый раствор с дальним порядком. Элементарная ячейка содержит 43 атома; в ней 9 атомов Fe образуют ОЦК решетку ($a = 2,8664 \text{ \AA}$), а 34 атома C занимают тетраэдрические поры, образуемые атомами углерода и железа. В мартенсите Fe_2C_{22} атомы Fe(1) образуют КМ $\{\text{FeC}_8\}$, атомы Fe(2) — КМ $\{\text{FeC}_8\}$, а атомы C — КМ $\{\text{CFeCC}_3\text{C}_3\}$.

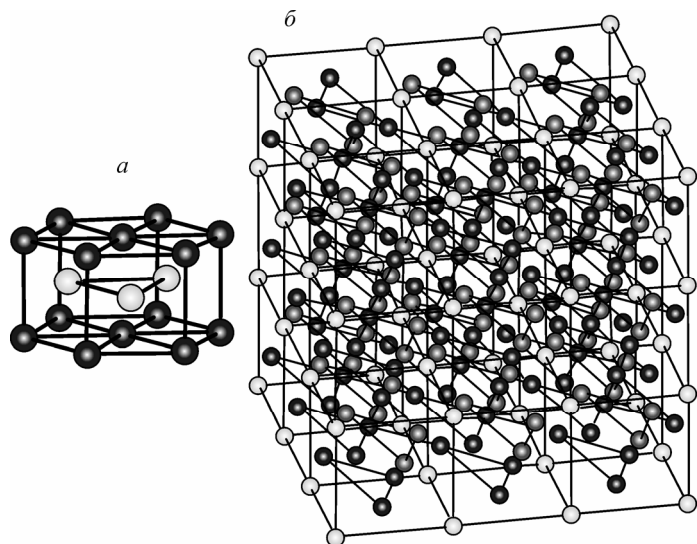
Следует отметить, что при комнатной температуре кратчайшая длина связи W—C в ряду $\text{WC} \rightarrow \text{FeW}_3\text{C} \rightarrow \text{Fe}_3\text{W}_3\text{C} \rightarrow \text{Fe}_6\text{W}_6\text{C}$ составляет $d_0 \sim 2,220, 3,905, 3,064$ и $3,022 \text{ \AA}$ соответственно.

Соединения FeW_3C , $\text{Fe}_6\text{W}_6\text{C}$ и Fe_2C_{22} , $\text{Fe}_3\text{W}_3\text{C}$ и WC моделировали расчетными кластерами, представленными на рис. 1 и 2.

Электронная структура рассматриваемых кристаллов изучена с использованием кластерной версии приближения локального когерентного потенциала [16]. Расчет кристаллического *muffin-tin* (MT)-потенциала осуществляли для равновесного состояния с экспериментальными параметрами решеток. Обменный потенциал строили в приближении Слэтера с обменной



Rис. 1. Расчетные кластеры карбидных систем: *а* — FeW_3C , *б* — $\text{Fe}_6\text{W}_6\text{C}$ и *в* — Fe_2C_{22}

Рис. 2. Расчетные кластеры WC (a) и $\text{Fe}_3\text{W}_3\text{C}$ (b)

поправкой $\alpha = 2/3$. Решение радиального уравнения Шредингера осуществляли для $l = 0, 1, 2$ в интервале энергий от 0,02 до 1,5 Ry с постоянным шагом 0,02 Ry. Для всех различных атомов системы рассматривали кластер, центрированный этими атомами. Локальные парциальные плотности состояний (ЛПС) каждого атома сплава вычисляли для кластера, состоящего из 107 атомов в 9 координационных сферах:

$$n_{\ell}^A(E) = \frac{\sqrt{E}}{\pi} \int_0^{r_{WS}} [R_{\ell}^A(r, E)r]^2 dr \frac{\text{Im} \text{Tr} T_{LL'}^{A,00}(E)}{\text{Im} t_{\ell}^A(E)}, \quad (1)$$

где ℓ — орбитальное квантовое число; $R_{\ell}^A(r)$ — радиальные волновые функции атома сорта A ; $T_{LL'}^{A,00}$ — матричный элемент оператора рассеяния. Полную плотность состояний (ППС) электронов на элементарную ячейку для одной проекции спина определяли как сумму ЛПС.

РЕЗУЛЬТАТЫ И ИХ ОБСУЖДЕНИЕ

Полная и локальные ПЭС карбидных фаз FeW_3C и $\text{Fe}_6\text{W}_6\text{C}$ представлены на рис. 3. Валентная зона двойного карбида FeW_3C составлена двумя валентными подзонами: верхней UVB и нижней LVB, аналогично гексагональному WC [4]. Сопоставление проводится с карбидом вольфрама, который выступал в качестве прекурсора рассматриваемой фазы. Нижняя подзона,

Таблица 1

Распределение парциальных зарядов валентных электронов UVB в карбидах WC, FeW_3C , $\text{Fe}_3\text{W}_3\text{C}$, $\text{Fe}_6\text{W}_6\text{C}$ и Fe_2C_{22}

Фаза		<i>q</i>				
		<i>s</i>	<i>p</i>	<i>d</i>	Σ_{spd}	Σ
WC	C	1,020	1,943	—	2,963	5,259
	W	0,300	0,422	1,574	2,296	
FeW_3C	C	1,605	0,932	—	2,537	17,356
	Fe	0,434	3,959	6,266	10,659	
$\text{Fe}_3\text{W}_3\text{C}$	W	0,194	2,681	1,285	4,160	
	C	0,798	1,558	—	2,356	14,000
$\text{Fe}_6\text{W}_6\text{C}$	Fe	0,427	7,968	0,179	8,574	
	W	0,430	2,113	0,527	3,070	
Fe_2C_{22}	C	0,229	0,399	—	0,628	26,000
	Fe	0,676	1,958	10,973	13,607	
	W	0,190	10,665	0,910	11,765	
	C	1,266	6,704	—	7,970	27,986
	Fe	0,576	0,458	18,982	20,016	

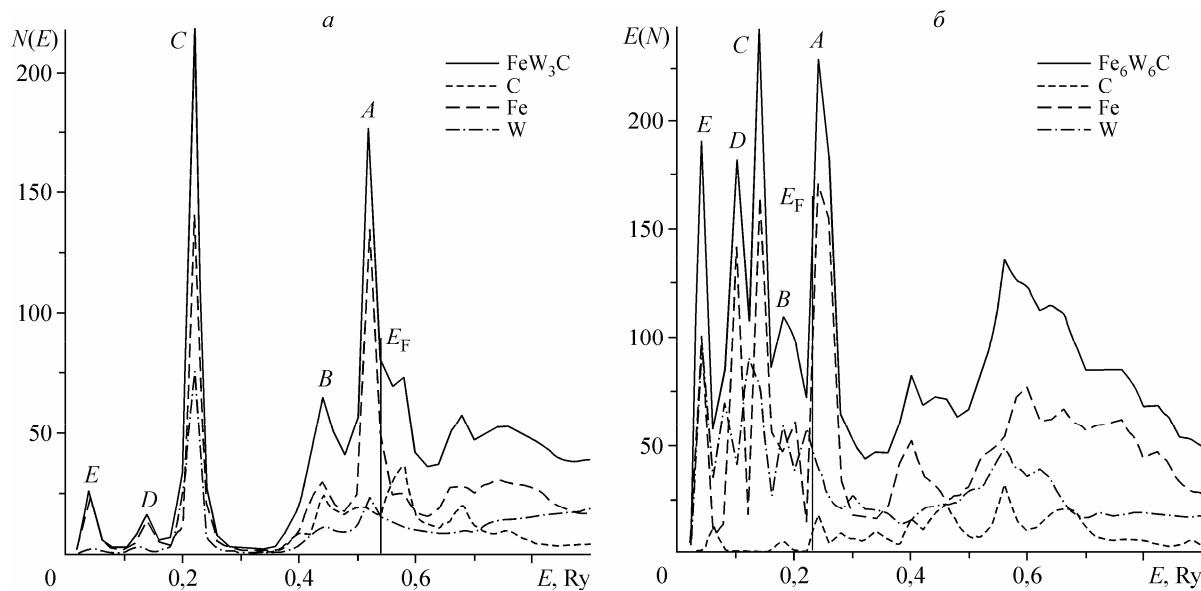


Рис. 3. Полная и локальные парциальные ПЭС на один атом железа, вольфрама и углерода в карбидных системах FeW₃C (а) и Fe₆W₆C (б) в эл. сост./атом·Ry

традиционно называемая квазиостровной, имеет ширину порядка 3,2 эВ, что в 2 раза больше чем в WC, и разделена с верхней подзоной промежутком 1,3 эВ, что в 3 раза меньше, чем в карбиде вольфрама. Парциальные заряды валентных электронов, формирующих подзону LVB и представленные в табл. 1, показывают доминирующий вклад *p*-состояний электронов атомов железа и вольфрама. Можно говорить о наличии связи Fe—W состояний, формирующих пик *C* (см. рис. 3, а). Однако вклады заполненных состояний *бр*-электронов атомов вольфрама в 2 раза меньше, чем *3p*-электронов железа.

Как следует из распределения парциальных зарядов валентных электронов, формирующих UVB (см. табл. 1), определяющими являются вклады *3p*-, *3d*-электронов Fe, в то время как вклады *2s*-, *2p*-электронов C и *5d*-электронов W оказались в 3—4 раза меньше. В результате перекрывания рассмотренных электронных спектров образуется гибридизованная полоса. Уровень Ферми (0,54 Ry) расположен на спадающей ветви пика *A* и принят в дальнейшем за начало отсчета единой энергетической шкалы. Следует также отметить доминирующие особенности (эВ) на кривой ППС системы FeW₃C: *A* (-0,36), *B* (-1,4), *C* (-4,5), *D* (-5,6) и *E* (-6,8). Подобный характер особенностей зонной структуры определяет когезионные характеристики двойного карбида FeW₃C.

Рассчитанный электронный энергетический спектр в кристалле Fe₆W₆C (см. рис. 3, б) выявляет различие в тонкой структуре вершины валентной полосы (подзона UVB). Нижняя подзона в данном расчете оказалась ниже МТ-нуля, аналогично Fe₃W₃C, и поэтому здесь не представлена. Следует отметить, что энергетическое положение (эВ) пиков *A* (0,2), *B* (-0,6), *C* (-1,2), *D* (-1,7) и *E* (-2,6) в Fe₆W₆C на единой энергетической шкале, характеризующее энергию связи данного состояния, претерпело изменения по сравнению с аналогичными пиками в FeW₃C и в WC. Нулевое положение энергии связи в данной работе совпадает с положением уровня Ферми. Как следует из рис. 3, б, особенности кривой ППС сверхструктуры Fe₆W₆C, как и Fe₃W₃C (рис. 4), определяются в значительной степени ЛПС железа. Для подзоны UVB соединения Fe₆W₆C характерно замешивание заполненных состояний электронов атомов всех элементов соединения, в результате которого образуется гибридизованная валентная полоса Fe₆W₆C.

Анализ распределения парциальных зарядов валентных электронов (см. табл. 1), формирующих подзону UVB в кристалле Fe₆W₆C, показывает, что доминирующими являются вклады *p*-электронов атомов вольфрама и *d*-электронов железа. Уровень Ферми (*E*_F) расположен на восходящей ветви ППС Fe₆W₆C вблизи максимума *A* аналогично Fe₃W₃C. Особенности тонкой

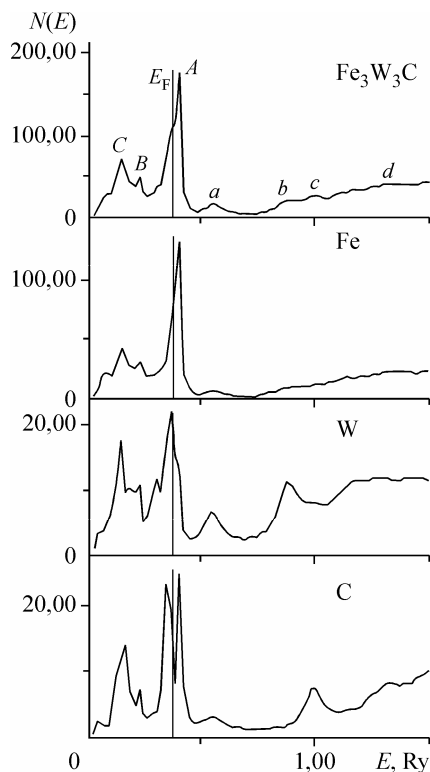


Рис. 4. Полная и локальные ПЭС на один атом Fe, W и C в $\text{Fe}_3\text{W}_3\text{C}$ в эл. сост./атом·Ру

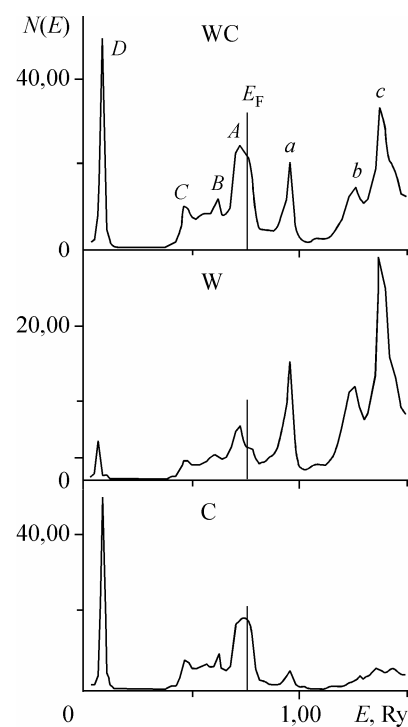


Рис. 5. Полная и локальные ПЭС на один атом Fe, W и C в WC в эл. сост./атом·Ру

структуры ППС вблизи E_F обусловлены распределением С $2p$ -, Fe $3p,d$ - и W $5p,d$ -состояний. Сравнение электронных спектров двух кристаллов FeW_3C и $\text{Fe}_6\text{W}_6\text{C}$ позволяет обнаружить усиление гибридизации $p-d$ -электронов между атомами W и Fe при увеличении содержания железа в соединении.

Полная и локальные плотности электронных состояний кристаллов WC и $\text{Fe}_3\text{W}_3\text{C}$ представлены в сопоставлении на рис. 4 и 5. Валентная зона карбида вольфрама, выступающего в качестве прекурсора, составлена UVB и LVB, что соответствует предшествующим расчетам [11, 12, 4]. Подзона LVB, традиционно называемая квазистоинственной, имеет ширину порядка 1,4 эВ и разделена с подзоной UVB промежутком 3,8 эВ. Парциальные заряды валентных электронов, формирующих LVB, подтверждают суждения о доминирующем вкладе $2s$ -состояний С. Можно говорить о наличии $Cs-Wp$ -связи состояний, формирующих пик D (см. рис. 5). Однако вклады заполненных состояний $6p$ -электронов атомов W на порядок меньше, чем $2s$ -электронов С.

Как следует из распределения парциальных зарядов валентных электронов, формирующих UVB (см. табл. 1), определяющими являются вклады $2s$, $2p$ -электронов атомов С и $5d$ -электронов W, в результате перекрывания которых образуется гибридизованная полоса. Следует отметить доминирующие особенности (эВ) на кривой ППС: A (-0,6), B (-2,0) и C (-4,1), энергетическое положение которых соответствует данным работы [4]. Уровень Ферми (0,77 Ry) расположен на спадающей ветви пика A вблизи локального минимума ППС и принят в дальнейшем за начало отсчета единой энергетической шкалы. Как отмечают авторы работы [4], подобный характер особенностей зонной структуры определяет экстремальные когезионные характеристики карбида вольфрама.

Рассчитанный электронный энергетический спектр в кристалле $\text{Fe}_3\text{W}_3\text{C}$ (см. рис. 4) выявляет различие в тонкой структуре вершины валентной полосы (UVB). LVB в данном расчете

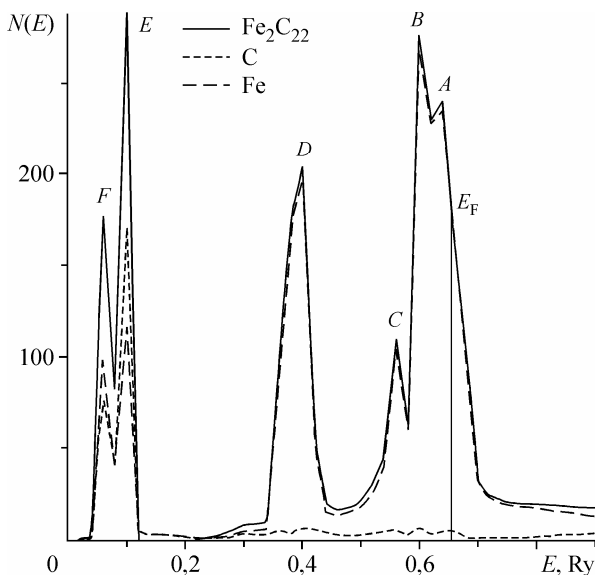


Рис. 6. Полная и локальные парциальные ПЭС на один атом железа и углерода в Fe_2C_{22} в эл. сост./атом · Ry

оказалась ниже МТ-нуля и поэтому здесь не представлена. Следует отметить, что энергетическое положение (эВ) пиков A (0,3), B (-2,2) и C (-3,2) в $\text{Fe}_3\text{W}_3\text{C}$ на единой энергетической шкале, характеризующее энергию связи данного состояния, претерпело изменения по сравнению с аналогичными пиками в WC. Как следует из рис. 4, особенности кривой ППС определяются в значительной степени ЛПС железа. Для UVB характерно замешивание заполненных состояний электронов атомов всех элементов соединения, в результате которого образуется гибридизованная валентная полоса $\text{Fe}_3\text{W}_3\text{C}$.

Анализ распределения парциальных зарядов валентных электронов (см. табл. 1), формирующих UVB в $\text{Fe}_3\text{W}_3\text{C}$, показывает, что доминирующими являются вклады p -электронов атомов углерода, железа и вольфрама. Уровень Ферми расположен на восходящей ветви ППС вблизи максимума A . Особенности тонкой структуры ППС вблизи E_F обусловлены распределением C 2p-, Fe 3p- и W 5p,d-состояний.

Электронные плотности состояний мартенсита железа в предложенной здесь кластерной модели представлены на рис. 6. Валентная зона данной фазы составлена двумя полосами заполненных электронных состояний валентными подзонами, верхней и нижней, аналогично FeW_3C . LVB имеет ширину порядка 1,06 эВ, что в 3 раза меньше, чем в FeW_3C , и разделена с UVB промежутком 2,9 эВ, что более чем в 2 раза больше, чем в FeW_3C , и в 1,3 раза меньше, чем в карбиде вольфрама. Парциальные заряды валентных электронов, формирующих LVB и представленные в табл. 1, показывают доминирующий вклад 2p- и 3d-состояний электронов атомов углерода и железа соответственно. Следует отметить энергетическое положение (эВ) пиков A (-0,1), B (-0,6), C (-1,3), D (-3,4), E (-7,5) и F (8,1) в Fe_2C_{22} на единой энергетической шкале, что иллюстрирует различие энергетических спектров электронов в изученном мартенсите по сравнению с исследованными здесь карбидными фазами вольфрама и железа FeW_3C и $\text{Fe}_6\text{W}_6\text{C}$.

Для выявления корреляций электронной структуры с физическими свойствами исследуемых карбидных систем были выполнены оценки энергии когезии E_{coh} (в приближении Фриделя [19]), представленные в табл. 2 в сопоставлении с длиной связи W—C и данными испытаний на микротвердость. Анализ данных табл. 2 позволяет констатировать наличие зависимости между изменением энергии химической связи и микротвердости в ряду $\text{WC} \rightarrow \text{FeW}_3\text{C} \rightarrow \text{Fe}_3\text{W}_3\text{C} \rightarrow \text{Fe}_6\text{W}_6\text{C} \rightarrow \text{Fe}_2\text{C}_{22}$.

Таблица 2

Сопоставление плотности электронных состояний на уровне Ферми $N(E_F)$ и энергии когезии (на пару атомов) с расчетными и экспериментальными значениями микротвердости и модуля всестороннего сжатия B_0 в соединениях WC, FeW_3C , $\text{Fe}_3\text{W}_3\text{C}$, $\text{Fe}_6\text{W}_6\text{C}$ и Fe_2C_{22}

Фаза	Энергия когезии E_{coh} , эВ	Длина связи d_0 , Å	Микротвердость H_μ , ГПа	
			Наст. раб.	Экспер.
Fe_2C_{22}	2,0	0,841	8,30	7,58
FeW_3C	2,7	3,905	10,43	—
$\text{Fe}_3\text{W}_3\text{C}$	4,2	3,064	16,36	14,93
$\text{Fe}_6\text{W}_6\text{C}$	4,7	3,022	15,26	—
WC	10,8	2,220	24,20	23,17

ВЫВОДЫ

1. На основании теоретических данных установлено строение электронно-энергетических полос карбидов WC, FeW₃C, Fe₃W₃C, Fe₆W₆C и Fe₂C₂₂, кристаллизующихся в расплаве системы Fe—W—C.

2. Установлены корреляции в изменении электронной энергетической структуры и механических свойств при переходе от прекурсора WC к сверхструктурам Fe₃W₃C и Fe₆W₆C, проявляющиеся в уменьшении более чем в 1,5 раза энергии когезии E_{coh} и значения микротвердости H_μ .

СПИСОК ЛИТЕРАТУРЫ

1. Курлов А.С., Гусев А.И. Успехи химии. – 2006. – **75**, № 7. – С. 687 – 708.
2. Вахней А.Г., Антонов В.Н., Яресько А.Н. и др. // Металлофизика и новейшие технологии. – 1996. – **18**, № 12. – С. 21 – 25.
3. Timoshevskii A.N., Timoshevskii V.A., Yanchitsky B.Z. // Materials Science Forum. – 2001. – **373**. – Р. 713 – 716.
4. Медведева Н.И., Ивановский А.Л. // ФТТ. – 2001. – **43**, № 3. – С. 452 – 455.
5. Ивановский А.Л., Медведева Н.И., Шеин И.Р. Фазовые и структурные превращения в сталях / Под ред. В.Н. Урцева. Вып.2. – Магнитогорск, МДП, 2002. – С. 52 – 85.
6. Zhukov V.P., Gubanov V.A. // Solid State Commun. – 1985. – **56**. – Р. 51 – 58.
7. Гуреев Д.М. // ФиХОМ. – 1998. – № 2. – С. 41 – 44.
8. Киффер Р., Шварцкопф П. Твердые сплавы. – М.: Металлургиздат, 1957.
9. Гуляев А.П., Трусова Е.Ф. // Журн. техн. физ. – 1950. – **20**. – С. 66 – 78.
10. Гольдшмидт Х.Т. Сплавы внедрения. – М.: Мир, 1971.
11. Sahraoui T., Kellou A., Faraoun H.I. et al. // Mater. Sci. Engineer. B. – 2004. – **107**. – Р. 1 – 7.
12. Hugosson H.W., Engquist H. // Int. J. Refract. Metals Hard Mater. – 2003. – **21**. – Р. 55 – 61.
13. Хансен М., Андерко К. Структура двойных сплавов: Т. 2. – М.: Металлургиздат, 1962.
14. Рыжкин А.А., Ильясов А.В. // Вестник ДГТУ. – 2007. – **7**, № 2. – С. 169 – 176.
15. Holleck H. // Metall. – 1985. – **39**, N 7. – Р. 634 – 645.
16. Ильясов В.В., Жданова Т.П., Никифоров И.Я. // Журн. структур. химии. – 2005. – **46**, № 5. – С. 822 – 829.
17. Ильясов В.В., Жданова Т.П., Никифоров И.Я. // ФТТ. – 2005. – **47**, № 9. – С. 1559 – 1566.
18. Pollock, Staelmaier // Metall. Trans. – 1970. – **1**. – Р. 767.
19. Fridel J. The Physics of Metals. – Cambridge, 1969.